

ПРОГНОЗ ДЕФОРМАЦІЙ МАСИВНОГО ПРИРОДНОГО ВОДОНАСИЧЕНОГО СХИЛУ ПРИ ЙОГО ОСУШЕННІ

Кузлю М.Т.

Національний університет водного господарства та природокористування
м. Рівне, Україна

АНОТАЦІЯ: Наведено результати математичного моделювання деформацій природного водонасиченого схилу при його осушенні.

АННОТАЦИЯ: Приведены результаты математического моделирования деформаций естественного водонасыщенного уклона при его осушении.

ABSTRACT: The results of mathematical modeling of natural water saturated slope under its drainage have been pointed out.

КЛЮЧОВІ СЛОВА: вертикальні зміщення, напружено-деформований стан, конформне відображення.

ВСТУП

Під час проектування основних споруд Канівської гідроакмулюючої електростанції (ГАЕС) виникла необхідність в осушенні нижньої частини водонасиченого природного схилу (рис. 1)

Відомо, що в процесі осушення в ґрунтовому масиві від дії внутрішніх об'ємних сил (гідродинамічних сил фільтраційного потоку, зміни власної ваги ґрунту) виникають додаткові деформації, що можуть суттєво змінювати важливі проектні позначки розміщення будівлі ГАЕС і анкерних гравітаційних опор сталезалізобетонних напірних водоводів. Ці деформації ускладнюють нормальну експлуатацію, а в деяких випадках призводять до аварій будівель і споруд та можуть приносити значний економічний збиток.

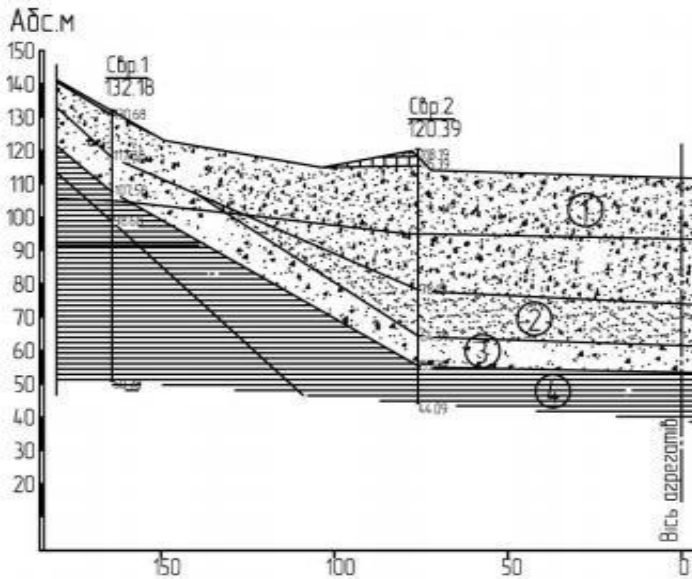


Рис. 1. Інженерно-геологічний розріз об'єкта будівництва

Започатковано розв'язання цієї проблеми в роботах [1 - 4], основними результатами яких є розробка нових та вдосконалення існуючих математичних моделей і методів їх рішень з визначення параметрів фільтраційного потоку, напружено-деформованого стану (НДС) грантових масивів при дії фільтраційного потоку води. Однак, для сумісного розв'язання задач фільтрації і НДС водонасичених ґрунтових масивів при зміні гідрогеологічних умов, необхідний їх подальший розвиток.

Метою роботи є прогноз деформацій природного водонасиченого схилу при його осушенні під час проектування Канівської ГАЕС.

РЕЗУЛЬТАТИ ДОСЛІДЖЕНЬ

Математична модель, що описує цю проблему, складається з диференціальних рівнянь фільтраційного потоку і рівнянь НДС ґрунтового масиву, які записуються в переміщеннях.

У роботі розглядається задача повного осушення ґрунтового масиву з відомим початковим рівнем поверхні ґрунту і ґрунтових вод. Кінцеве розміщення ґрунтових вод знаходиться на рівні водоопору.

Для розв'язання поставленої задачі необхідно встановити поле напорів фільтраційного потоку, НДС ґрунтового масиву та визначити його зміщення після осушення в заданих точках.

Рівняння фільтраційного потоку води на початковий та у кінцевий момент часу для двовимірному випадку записується у вигляді:

$$\frac{\partial^2 H}{\partial x^2} + \frac{\partial^2 H}{\partial z^2} = 0, \quad (1)$$

де $H(x, z)$ – напір води в точці (x, z) ґрунтового масиву.

Математична модель НДС ґрунтового масиву у момент часу після настання стабілізації рівня ґрунтових вод в області нижче рівня ґрунтових вод $\Omega_t = \{(x, z) | x \in (0, r), z \in (0, h(x, t))\}$ описується наступними диференціальними рівняннями [5]:

$$\mu \Delta u + (\lambda + \mu) \left(\frac{\partial^2 u}{\partial x^2} + \frac{\partial^2 w}{\partial x \partial z} \right) = \gamma_w \frac{\partial H}{\partial x}, \quad (2)$$

$$\mu \Delta w + (\lambda + \mu) \left(\frac{\partial^2 u}{\partial x \partial z} + \frac{\partial^2 w}{\partial z^2} \right) = \gamma_{sb} + \gamma_w \frac{\partial H}{\partial z} \quad (3)$$

при таких граничних умовах

$$u(x, 0) = 0, \quad w(x, 0) = 0, \quad (4)$$

$$u(0, z) = 0, \quad u(r, z) = 0, \quad (5)$$

$$\tau_{xz}(0, z) = 0, \quad \tau_{xz}(r, z) = 0, \quad (6)$$

$$\tau_n(x, l_1(x)) = 0, \quad \sigma_n(x, l_1(x)) = \gamma_n(l_1(x) - l(x)). \quad (7)$$

Тут $h(x, t)$ – висота розміщення ґрунтових вод у момент часу t ; $H(x, z)$ – напір у точці (x, z) у момент часу t ; Δ – оператор Лапласа; λ, μ – пружні сталі; $u(x, z)$ – горизонтальні, а $w(x, z)$ – вертикальні зміщення точки, яка у момент t знаходиться в точці (x, z) ; $\gamma_w = \rho_w g$ – питома вага води; γ_{sb} – питома вага ґрунту в насиченому стані; τ_{xz} – головні дотичні напруження; σ_n – нормальні напруження; τ_n – дотичні напруження; $l_1(x)$ – рівень ґрунтових вод; $l(x)$ – шукана висота (глибина) ґрунтового масиву в момент часу t ; γ_n – питома вага ґрунту в природному стані. Для того, щоб знайти зміщення у ґрунтовому масиві, необхідно знати напори в усіх точках масиву в початковий та кінцевий моменти часу. Позначимо загальну ширину розглядуваної області, що розглядається через r .

Для визначення напорів в області Ω_t знайдемо розв'язок диференціального рівняння стаціонарної фільтрації (1) при таких граничних умовах:

$$H(0, z) = H_0(z), \quad H(r, z) = H_r(z), \quad (8)$$

$$\frac{\partial H(x,0)}{\partial z} = 0, \quad H(x, h(x,t)) = h(x,t), \quad (9)$$

де $H_0(z), H_r(z)$ – напори на лівій та правій межі ґрунтового масиву (відомі функції).

Чисельний розв'язок крайової задачі (1), (8)-(9) отримано шляхом побудови на сітці параметричного прямокутника в площині $\xi O \eta$ різницевої схеми з використанням шаблону типу «хрест» та розв'язавши її ітераційним методом послідовної верхньої релаксації. Для цього здійснимо чисельне конформне відображення області $\Omega_r = \{(x, z) | x \in (0, r), z \in (0, h(x,t))\}$ на параметричний прямокутник у площині $\xi O \eta$. Гідродинамічна сітка області фільтрації на момент осушення ґрунтового масиву наведена на рис. 2.

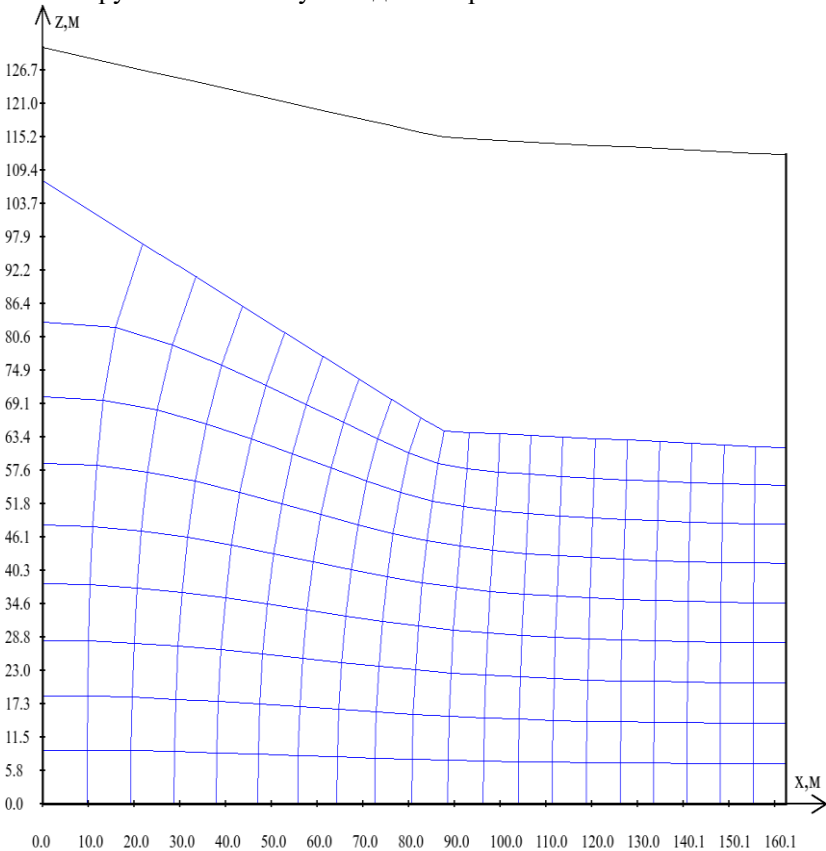


Рис. 2. Гідродинамічна сітка області фільтрації на момент осушення ґрунтового масиву

Розв'яжемо задачу (2)-(7). Для цього виразимо напруження через зміщення:

$$\tau_{xz} = \mu \varepsilon_{xz} = \frac{\mu}{2} \left(\frac{\partial u}{\partial z} + \frac{\partial w}{\partial x} \right). \quad (10)$$

Згідно (5), $u|_{x=0} = u|_{x=r} = 0$, тому $\frac{\partial u}{\partial z}|_{x=0} = \frac{\partial u}{\partial z}|_{x=r} = 0$, отже, (6) набуде вигляду:

$$\frac{\partial w}{\partial x}|_{x=0} = 0, \quad \frac{\partial w}{\partial x}|_{x=r} = 0. \quad (11)$$

Мають місце формули [5]

$$\sigma_n = \sigma_x n_x^2 + \sigma_z n_z^2 + 2\tau_{xz} n_x n_z, \quad \tau_n = \sqrt{P_x^2 + P_z^2 - \sigma_n^2}, \quad (12)$$

де $P_x = \sigma_x n_x + \tau_{xz} n_z$, $P_z = \tau_{xz} n_x + \sigma_z n_z$ – складові вектора напружень; n_x, n_z – напрямні косинуси вектора нормалі до верхньої межі Ω_t , а саме:

$$n_x = -\sin \alpha, \quad n_z = \cos \alpha, \quad \text{де } \alpha = \arctg(l_1'(x)).$$

Врахувавши (12) і виразивши напруження через зміщення, із залежності (7) отримаємо

$$\left(2\mu \left(\frac{\partial w}{\partial z} - \frac{\partial u}{\partial x} \right) n_x n_z + \frac{\mu}{2} \left(\frac{\partial u}{\partial z} + \frac{\partial w}{\partial x} \right) (n_x^2 - n_z^2) \right) \Big|_{z=l_1} = 0, \quad (13)$$

$$\left(\left(\lambda (n_x^2 + n_z^2) + 2\mu n_x^2 \right) \frac{\partial u}{\partial x} + \left(\lambda (n_x^2 + n_z^2) + 2\mu n_z^2 \right) \frac{\partial w}{\partial z} + \mu n_x n_z \left(\frac{\partial u}{\partial z} + \frac{\partial w}{\partial x} \right) \right) \Big|_{z=l_1} = \gamma_n (l_1(x) - l(x)). \quad (14)$$

Позначимо v – вертикальне зміщення у точці $(x, l_1(t_1))$ відносно початкової поверхні ґрунту в момент часу t_1 . У початковий момент часу рівень поверхні ґрунту відомий – заданий функцією $l(x, 0)$. У момент часу t_1 l залежить від початкового рівня поверхні, зміщень відносно початкового рівня. Зміщення $l(x, t_1) - l(x, 0)$ складаються із двох компонентів – зміщення ґрунту під РГВ v та зміщення осушеного ґрунту h_1 , тому має місце формула:

$$l(x, t_1) = l(x, 0) + v + h_1. \quad (15)$$

У рівнянні (15) ми нехтуємо впливом горизонтальних зміщень, що значно менші від вертикальних.

Знайдемо значення v . Позначимо $v_0 = w_0(x, l_1(t_1))$, $v_{t_1} = w_{t_1}(x, l_1(t_1))$ – вертикальні зміщення, знайдені в результаті розв’язку задачі (2)-(7) у моменти часу 0 та t_1 відповідно.

Позначимо G – частинка ґрунту, що знаходиться в момент часу t_1 у точці $(x, l_1(t_1))$; F – частинка ґрунту, що знаходиться в момент часу 0 у точці $(x, l_1(t_1))$. Тоді v_0 – початкове зміщення частинки F ; v_{t_1} – кінцеве зміщення частинки G . Щоб знайти реальне зміщення частинки G v необхідно від v_{t_1} відняти початкове зміщення G . У початковий момент часу частинка G знаходиться на відстані v над своїм кінцевим розташуванням. Оскільки v поки що невідоме, для його відшукування можна використати різні підходи, зокрема: ітераційний метод та спосіб з використанням $\frac{dw_0(x, l_1(t_1))}{dz}$. Для цього розкладемо w_0 у ряд Тейлора в околі точки $(x, l_1(t_1))$:

$$w_0(x, l_1(t_1) - v) = v_0 - v \frac{dw_0(x, l_1(t_1))}{dz} + O(v^2) \quad (16)$$

Оскільки значення v досить мале, останнім доданком у формулі (16) можна нехтувати. Вираз $w_0(x, l_1(t_1) - v)$ описує початкове зміщення G . Отже, має місце формула $v = v_{t_1} - w_0(x, l_1(t_1) - v)$. Остаточо маємо:

$$v = v_{t_1} - \left(v_0 - v \frac{dw_0(x, l_1(t_1))}{dz} \right) \quad (17)$$

Отже, у рівності (17) зміна положення точки, що знаходиться на поверхні ґрунтових вод у момент часу t_1 відносно $t=0$, врахована за допомогою похідної по вертикальних зміщеннях.

Виразивши v із рівняння (17), отримаємо:

$$v = \frac{v_{t_1} - v_0}{1 - \frac{dw_0(x, l_1(t_1))}{dz}} \quad (18)$$

У рівнянні (18) v_0 та $\frac{dw_0(x, l_1(t_1))}{dz}$ невідомі, оскільки конформні сітки різні для початкового та кінцевого моменту часу. Для знаходження цих величин використаємо інтерполяцію на конформній сітці при $t=0$. У

вузлах початкової конформної сітки $\frac{dw_0}{dz}$ знайдемо, використовуючи стандартні скінченно-різницеві апроксимації другого порядку точності.

Початкова висота частини ґрунту, яка виявиться осушеною в кінцевий момент часу, рівна $l_1(0) - l_1(t_1) + v$. Звідси зміщення осушеного ґрунту у зв'язку із зміною пористості рівне:

$$h_1 = \frac{1-\alpha}{\alpha} (l_1(0) - l_1(t_1) + v). \quad (19)$$

Тут $\alpha = \frac{1+e_0}{1+e_1}$, де e_0 та e_1 – коефіцієнти пористості водонасиченого

ґрунту та ґрунту, що знаходиться у природному стані, відповідно.

Для розв'язання задачі (2)-(5), (11), (13), (14) перейдемо до змінних ξ, η .

$$\begin{aligned} & \frac{\mu}{J_1} \left(\frac{\partial^2 u}{\partial \xi^2} + \frac{\partial^2 u}{\partial \eta^2} \right) + (\lambda + \mu) \left(\frac{\partial^2 u}{\partial \xi^2} \left(\frac{\partial \xi}{\partial x} \right)^2 + 2 \frac{\partial^2 u}{\partial \xi \partial \eta} \frac{\partial \xi}{\partial x} \frac{\partial \eta}{\partial x} + \frac{\partial u}{\partial \xi} \frac{\partial^2 \xi}{\partial x^2} + \frac{\partial^2 u}{\partial \eta^2} \left(\frac{\partial \eta}{\partial x} \right)^2 \right) + \\ & + \frac{\partial u}{\partial \eta} \frac{\partial^2 \eta}{\partial x^2} + \frac{\partial^2 w}{\partial \xi^2} \frac{\partial \xi}{\partial x} \frac{\partial \xi}{\partial z} + \frac{\partial^2 w}{\partial \xi \partial \eta} \left(\frac{\partial \xi}{\partial z} \frac{\partial \eta}{\partial x} + \frac{\partial \xi}{\partial x} \frac{\partial \eta}{\partial z} \right) + \frac{\partial^2 w}{\partial \eta^2} \frac{\partial \eta}{\partial x} \frac{\partial \eta}{\partial z} + \frac{\partial w}{\partial \xi} \frac{\partial^2 \xi}{\partial x \partial z} + \\ & + \frac{\partial w}{\partial \eta} \frac{\partial^2 \eta}{\partial x \partial z} \Big) = \gamma_w \frac{\partial H}{\partial x}, \end{aligned} \quad (20)$$

$$\begin{aligned} & \frac{\mu}{J_1} \left(\frac{\partial^2 w}{\partial \xi^2} + \frac{\partial^2 w}{\partial \eta^2} \right) + (\lambda + \mu) \left(\frac{\partial^2 w}{\partial \xi^2} \frac{\partial \xi}{\partial x} \frac{\partial \xi}{\partial z} + \frac{\partial^2 w}{\partial \eta^2} \frac{\partial \eta}{\partial x} \frac{\partial \eta}{\partial z} + \frac{\partial^2 w}{\partial \xi \partial \eta} \left(\frac{\partial \xi}{\partial z} \frac{\partial \eta}{\partial x} + \frac{\partial \xi}{\partial x} \frac{\partial \eta}{\partial z} \right) \right) + \\ & + \frac{\partial w}{\partial \xi} \frac{\partial^2 \xi}{\partial x \partial z} + \frac{\partial w}{\partial \eta} \frac{\partial^2 \eta}{\partial x \partial z} + \frac{\partial^2 w}{\partial \xi^2} \left(\frac{\partial \xi}{\partial z} \right)^2 + \frac{\partial^2 w}{\partial \eta^2} \left(\frac{\partial \eta}{\partial z} \right)^2 + 2 \frac{\partial^2 w}{\partial \xi \partial \eta} \frac{\partial \xi}{\partial z} \frac{\partial \eta}{\partial z} + \frac{\partial w}{\partial \xi} \frac{\partial^2 \xi}{\partial z^2} + \\ & + \frac{\partial w}{\partial \eta} \frac{\partial^2 \eta}{\partial z^2} \Big) = \gamma_{sb} + \gamma_w \frac{\partial H}{\partial z}, \end{aligned} \quad (21)$$

де $J_1 = \frac{\partial x}{\partial \xi} \frac{\partial z}{\partial \eta} - \frac{\partial x}{\partial \eta} \frac{\partial z}{\partial \xi} = \left(\frac{\partial x}{\partial \xi} \right)^2 + \left(\frac{\partial x}{\partial \eta} \right)^2$ – якобіан оберненого

відображення.

Аналогічні переходи здійснимо також у крайових умовах. Провівши заміну перших і других похідних функцій ξ, η по x, z через похідні x, z по ξ, η [6]; знайшовши похідні x, z по ξ, η на конформній сітці за допомогою стандартних скінченно-різницевих апроксимацій другого порядку точності; замінивши похідні від функцій u, w по змінних ξ, η їх скінченно-різницевиими аналогами другого порядку точності у рівняннях та

крайових умовах, отримаємо СЛАР із квадратною матрицею системи. Розв'язавши СЛАР одним із стандартних чисельних методів (наприклад, модифікованим методом Гауса), знайдемо значення горизонтальних і вертикальних зміщень у кожній точці сітки.

Для чисельного розв'язання задачі нами створена програма на мові програмування С++ [7]. Згідно з описаним алгоритмом, проведені чисельні експерименти. Вихідні дані з фізико-механічних властивостей ґрунту були наступні: $\lambda = 18493 \text{ КПа}$; $\mu = 15748 \text{ КПа}$; $e_0 = 0,672$; $e_1 = 0,664$; $\gamma_w = 10 \text{ кН/м}^3$; $\gamma_{sb} = 9,63 \text{ кН/м}^3$; $\gamma_n = 16,48 \text{ кН/м}^3$.

Результати чисельного моделювання наведені у табл. 1.

Таблиця 1

Значення вертикальних зміщень ґрунтового масиву при його осушенні в заданих точках (x, m)

x, m	0	33,4	52,8	69,0	82,6	93,2	106,7
l, cm	2,60	12,6	14,22	15,7	19,0	26,7	32,3
x, m	120,7	134,8	148,92	162,5			
l, cm	36,1	38,3	39,2	39,7			

ВИСНОВКИ

У даній роботі розв'язана інженерна задача з прогнозу деформацій водонасиченого ґрунтового масиву при будівництві ГАЕС в результаті його осушення. За результатами чисельних експериментів встановлено вплив осушення ґрунту на вертикальні його зміщення.

ЛІТЕРАТУРА

1. Кремез В. С. Моделирование фильтрации грунтовых вод на основе уточнённого уравнения Буссинеска / В. С. Кремез // Гідромеліорація та гідротехнічне будівництво: зб. Наук. праць. – Рівне: НУВГП, 2006. – Вип.31. – С. 160 – 165.
2. Хулбарян М.Г. Приближённое аналитическое решение задачи нестационарной фильтрации со свободной поверхностью / М. Г. Хулбарян, О. О. Юшманов // Водные ресурсы. – 1982. - №1. – С.107 – 112.
3. Полубаринова-Кочина П. Я. Теория движения грунтовых вод / П.Я. Полубаринова-Кочина. – М.: Наука, 1977. – 664 с.
4. Кузло М.Т. Моделювання деформацій природного схилу при його осушенні / М.Т. Кузло // Галузеве машинобудування, будівництво: зб. наук. праць. – Полтава: ПНТУ, 2013. - Вип. 3(38). - Том 1. – С. 199–207.

5. Сергиенко И. В. Математическое моделирование и исследование процессов в неоднородных средах / И. В. Сергиенко, В. В. Скопецкий, В. С. Дейнека. – К.: Наук. думка, 1991. – 432 с.
6. Власюк А.П. Автоматическое построение конформных и квазиконформных отображений четырехугольных областей с помощью разностных сеток с „плавающими” узлами / А.П. Власюк, В.Г. Михальчук. – К., 1989. – 55 с.
7. Кузло М.Т. Комп’ютерна програма “Моделювання деформацій водонасичених ґрунтових масивів і основ (Shift”) / М.Т. Кузло, І.О. Кушнір // Свідоцтво про реєстрацію авторського права на твір № 53884 від 28.02.2014 – К.: Державна служба інтелектуальної власності України, 2014.

REFERENCES

1. Kremez V. S. Modelling of soil water filtration on the basis of Bussineck’s defined equation / V. S. Kremez // Hydromelioration and hydrotechnical construction: Collected scientific articles. – Rivne:NUWMNRU, 2006. – Ed. 31 – P.160 – 165.
2. Khulbarjan M.H. Approximate analytical solution of nonstationary filtration problem with free surface / M. H. Khulbarjan, O. O. Jushmanov//Water resources. – 1982. №1. – P.107 – 112.
3. Polubarinova-Kochina P. Ja. Theory of soil water movement / P. Ja. Polubarinova-Kochina. – M.: Nauka, 1977. – 664 p.
4. Kuzlo M.T. Modelling of deformations of natural slope under its drainage /M. T. Kuzlo // Collected scientific articles (branch mechanical engineering, construction) / Polt. nat. techn. un-ty named after Jurija Kondratjuka. Ed. 3(38). Vol 1. – Poltava : PNTU, 2013. – P. 199–207.
5. Serhienko I. V. Mathematical modeling and investigation of processes in heterogeneous environments / I. V. Skopets’kiju, V. S. Deineka. – K.: Scient. notion, 1991. – 432 p.
6. Vlasiuk A.P. Automatic building of conformed and quasiconformed reflections of fourangle areas with the help of computational mesh with „swimming ” bonds / A.P. Vlasiuk, V.H. Myhalchuk. – K.: 1989.– 55 p.
7. Kuzlo M.T. Computer program “Modeling of water saturated soil massifs deformations and basis (Shift”) / M. T. Kuzlo, I. O. Kushnir // Certificate about registration of author’s right on the product № 53884 from 28.02.2014 – K.: State service of intellectual property of Ukraine, 2014.

Стаття надійшла до редакції 24.06.2016 р.